

JAERI-M

87-104

6関節形マニピュレータに対する  
改良された逆運動学計算法

1987年7月

佐々木 忍

日本原子力研究所  
Japan Atomic Energy Research Institute

JAERI-M レポートは、日本原子力研究所が不定期に公刊している研究報告書です。  
入手の問合せは、日本原子力研究所技術情報部情報資料課（〒319-11 茨城県那珂郡東海村）  
あて、お申しこしください。なお、このほかに財団法人原子力弘済会資料センター（〒319-11 茨城  
県那珂郡東海村日本原子力研究所内）で複写による実費領布をおこなっております。

JAERI-M reports are issued irregularly.

Inquiries about availability of the reports should be addressed to Information Division, Department  
of Technical Information, Japan Atomic Energy Research Institute, Tokai-mura, Naka-gun,  
Ibaraki-ken 319-11, Japan.

© Japan Atomic Energy Research Institute, 1987

---

編集兼発行 日本原子力研究所  
印 刷 山田軽印刷所

6 関節形マニピュレータに対する改良された逆運動学計算法

日本原子力研究所東海研究所原子炉工学部

佐々木 忍

(1987年6月30日受理)

6 関節形マニピュレータの逆問題を解く一法として、先に報告した24次の代数方程式への変換に基づく計算式を改良した。今回は、既報の式より8次低い16次の同種の多項式を導き出した。解の精度もより向上し得たことが判明した。

An Improved Method of Inverse Kinematics Calculation  
for a Six-Link Manipulator

Shinobu SASAKI

Department of Reactor Engineering  
Tokai Research Establishment  
Japan Atomic Energy Research Institute  
Tokai-mura, Naka-gun, Ibaraki-ken

(Received June 30, 1987)

As one method of solving the inverse problem related to a six-link manipulator, an improvement was made of previously proposed calculation algorithm based on a solution of an algebraic equation of the 24-th order. In this paper, the same type of a polynomial was derived in the form of the equation of 16-th order, i.e., the order reduced by 8, as compared to previous algorithm. The accuracy of solutions was identified to be much refined.

Keywords: Inverse Kinematics, Six-Link Manipulator, Polynomial Model

## 目 次

1. はじめに.....	1
2. 変換多項式の導出.....	1
2.1 解法 その1 .....	4
2.2 解法 その2 .....	7
3. 結果と要約.....	9
謝　　辞.....	10
参考文献.....	10
付　　録.....	13

## Contents

1. Introduction .....	1
2. Derivation of Transformed Polynomial .....	1
2.1 Derivation No.1 .....	4
2.2 Derivation No.2 .....	7
3. Results and Summary.....	9
Acknowledgement .....	10
References .....	10
Appendices .....	13

## 1. はじめに

一定の拘束条件の下で運動を行う空間リンク機構の解析、なかでも開ループ直列連鎖の構造をもつロボット・マニピュレータの運動記述には、各関節変位（回転または直動）を与えて指先の位置・姿勢を求める順問題（direct または、forward kinematics、または direct kinematic problem）と、逆に指先の位置姿勢から各軸の関節変位を決定する逆問題（inverse kinematics または inverse kinematic problem）が考えられる。それらの解析方法はいろいろあるが、一般的に論ずるには座標変換マトリックスを利用するのが便利である。順問題の方は、Denavit-Hartenberg の考えを基に Paul による同次座標変換法を用いると関節角と指先位置・姿勢の対応関係が統一的に記述できる。<sup>(1), (2)</sup>

一方、逆問題については、変換行列のなかに回転角の正弦、余弦が多数含まれており、連立非線形方程式を構成するため、解析解を求めることが困難であるばかりでなく、その数値計算も非常に複雑である。事実 Paul らも、逆問題については特定の構造をもったアームについて、視察によって計算の容易なものを選び出す方法を用いている。

このように、逆問題では非線形超越方程式の解を求めることが中心となり、位置と姿勢を含めた 6 変数に対する関節解を線形近似したヤコビアン法を用いて逐次反復計算で解を求める方法がよく利用されている。この方法は計算機処理の観点からそのアルゴリズムが単純なため今日一般的に利用されているものの、解の初期値依存性やヤコビ行列の特異点存在の可能性など、解を導く上で考慮すべき点がある。また、指定された位置・姿勢に対する解が実際には幾通りかある場合でも、ヤコビアン法では与えられた初期値に対して一つの解しか求められない。

こうした事情に基づいて、所要の解を厳密かつ網羅的に解くための 1 つのアプローチとして運動学方程式を一旦代数方程式に変換する方法（以下ではこの代数方程式を変換多項式または変換方程式と呼ぶ）を提案してきた。<sup>(3)~(6)</sup> この方法で算出された関節解は全く厳密に決定されるが、変換方程式が相当高次の多項式を構成するために次数の低減化が課題であった。本報では 2 つの違った方法で変換方程式を導き出し、その次数を従来のモデルに比べ 8 次低く改善することができた。当然のことながら、次数低下に伴う誤差の伝播はより低く抑えられた。

## 2. 変換多項式の導出

最初に考察の対象となる 6 リンク・マニピュレータを Fig. 1 に、また運動学方程式を式 (1) ~ (12) にまとめて書き上げる。導出過程の詳細は参考文献 (3) を参照されたい。

$$n_x = -c_6(s_1 s_{23} c_5 + s_4 s_5 c_1 + s_1 s_5 c_4 c_{23}) + s_6(c_1 c_4 - s_1 s_4 c_{23}) \quad (1)$$

$$n_y = c_6(c_1 c_5 s_{23} - s_1 s_4 s_5 + c_1 c_4 c_{23} s_5) + s_6(s_1 c_4 - c_1 c_{23} s_4) \quad (2)$$

## 1. はじめに

一定の拘束条件の下で運動を行う空間リンク機構の解析、なかでも開ループ直列連鎖の構造をもつロボット・マニピュレータの運動記述には、各関節変位（回転または直動）を与えて指先の位置・姿勢を求める順問題（direct または、forward kinematics、または direct kinematic problem）と、逆に指先の位置姿勢から各軸の関節変位を決定する逆問題（inverse kinematics または inverse kinematic problem）が考えられる。それらの解析方法はいろいろあるが、一般的に論ずるには座標変換マトリックスを利用するのが便利である。順問題の方は、Denavit-Hartenberg の考えを基に Paul による同次座標変換法を用いると関節角と指先位置・姿勢の対応関係が統一的に記述できる。<sup>(1), (2)</sup>

一方、逆問題については、変換行列のなかに回転角の正弦、余弦が多数含まれており、連立非線形方程式を構成するため、解析解を求めることが困難であるばかりでなく、その数値計算も非常に複雑である。事実 Paul らも、逆問題については特定の構造をもったアームについて、視察によって計算の容易なものを選び出す方法を用いている。

このように、逆問題では非線形超越方程式の解を求めることが中心となり、位置と姿勢を含めた 6 変数に対する関節解を線形近似したヤコビアン法を用いて逐次反復計算で解を求める方法がよく利用されている。この方法は計算機処理の観点からそのアルゴリズムが単純なため今日一般的に利用されているものの、解の初期値依存性やヤコビ行列の特異点存在の可能性など、解を導く上で考慮すべき点がある。また、指定された位置・姿勢に対する解が実際には幾通りかある場合でも、ヤコビアン法では与えられた初期値に対して一つの解しか求まらない。

こうした事情に基づいて、所要の解を厳密かつ網羅的に解くための 1 つのアプローチとして運動学方程式を一旦代数方程式に変換する方法（以下ではこの代数方程式を変換多項式または変換方程式と呼ぶ）を提案してきた。<sup>(3)~(6)</sup> この方法で算出された関節解は全く厳密に決定されるが、変換方程式が相当高次の多項式を構成するために次数の低減化が課題であった。本報では 2 つの違った方法で変換方程式を導き出し、その次数を従来のモデルに比べ 8 次低く改善することができた。当然のことながら、次数低下に伴う誤差の伝播はより低く抑えられた。

## 2. 変換多項式の導出

最初に考察の対象となる 6 リンク・マニピュレータを Fig. 1 に、また運動学方程式を式 (1) ~ (12) にまとめて書き上げる。導出過程の詳細は参考文献 (3) を参照されたい。

$$n_x = -c_6(s_1 s_{23} c_5 + s_4 s_5 c_1 + s_1 s_5 c_4 c_{23}) + s_6(c_1 c_4 - s_1 s_4 c_{23}) \quad (1)$$

$$n_y = c_6(c_1 c_5 s_{23} - s_1 s_4 s_5 + c_1 c_4 c_{23} s_5) + s_6(s_1 c_4 + c_1 c_{23} s_4) \quad (2)$$

$$n_z = c_6 (c_5 c_{23} - c_4 s_5 s_{23}) - s_4 s_{23} s_6 \quad (3)$$

$$o_x = c_6 (c_1 c_4 - s_1 s_4 c_{23}) + s_6 (s_1 s_{23} c_5 + s_4 s_5 c_1 + s_1 s_5 c_4 c_{23}) \quad (4)$$

$$o_y = c_6 (s_1 c_4 + c_1 c_{23} s_4) - s_6 (c_1 c_5 s_{23} - s_1 s_4 s_5 + c_1 c_4 c_{23} s_5) \quad (5)$$

$$o_z = -c_6 (s_4 s_{23}) + s_6 (c_4 s_5 s_{23} - c_5 c_{23}) \quad (6)$$

$$a_x = s_1 (s_5 s_{23} - c_4 c_5 c_{23}) - c_1 c_5 s_4 \quad (7)$$

$$a_y = -s_1 s_4 c_5 - c_1 s_5 s_{23} + c_1 c_4 c_5 c_{23} \quad (8)$$

$$a_z = -s_5 c_{23} - c_4 c_5 s_{23} \quad (9)$$

$$\begin{aligned} P_x &= -a_6 c_6 (s_1 s_{23} c_5 + s_4 s_5 c_1 + s_1 s_5 c_4 c_{23}) + a_6 s_6 (c_1 c_4 - s_1 s_4 c_{23}) \\ &\quad - a_5 (s_1 s_{23} c_5 + s_4 s_5 c_1 + s_1 s_5 c_4 c_{23}) - (a_3 + a_4) s_1 s_{23} - a_2 s_1 s_2 \end{aligned} \quad (10)$$

$$\begin{aligned} P_y &= a_6 c_6 (c_1 c_5 s_{23} - s_1 s_4 s_5 + c_1 c_4 c_{23} s_5) + a_6 s_6 (s_1 c_4 + c_1 c_{23} s_4) \\ &\quad - a_5 (c_1 c_5 s_{23} - s_1 s_4 s_5 + c_1 c_4 c_{23} s_5) + (a_3 + a_4) c_1 s_{23} + a_2 s_2 c_1 \end{aligned} \quad (11)$$

$$\begin{aligned} P_z &= a_6 c_6 (c_5 c_{23} - c_4 s_5 s_{23}) + a_6 (-s_4 s_{23}) s_6 + a_5 (c_5 c_{23} - c_4 s_5 s_{23}) \\ &\quad + (a_3 + a_4) c_{23} + a_2 c_2 + a_1 \end{aligned} \quad (12)$$

ここで、以下の解析に使用する記号について下記の約束をしておく。

$$s_i \triangleq \sin \theta_i, \quad c_i \triangleq \cos \theta_i, \quad s_{ij} \triangleq \sin (\theta_i + \theta_j), \quad c_{ij} \triangleq \cos (\theta_i + \theta_j),$$

$$n \triangleq (n_x, n_y, n_z)^T, \quad o \triangleq (o_x, o_y, o_z)^T, \quad a \triangleq (a_x, a_y, a_z)^T ; \text{指先姿勢の三方向ベクトル},$$

ベクトル,

$P_x, P_y, P_z$  ; 基準座標系における指先の位置座標。

我々は、文献(3)では以前、位置・姿勢と関節角間の上記関係式をまず指先にもっとも近い回転角の正弦・余弦で整理した後、式中に現れた共通の要素を別の新しいパラメータで置き換えることで、式全体の簡素化と代数方程式への統合化を狙った。即ち、

$$A = s_1 s_{23} c_5 + s_4 s_5 c_1 + s_1 s_5 c_4 c_{23} \quad (13)$$

$$B = c_1 c_4 - s_1 s_4 c_{23} \quad (14)$$

$$C = c_1 c_5 s_{23} - s_1 s_4 s_5 + c_1 c_4 c_{23} s_5 \quad (15)$$

$$D = s_1 c_4 + c_1 c_{23} s_4 \quad (16)$$

$$E = c_5 c_{23} - c_4 s_5 s_{23} \quad (17)$$

$$F = -s_4 s_{23} \quad (18)$$

と置き換えをしたパラメータが指先に近い三角関数  $s_6, c_6$  で表現できることから、これらと次の指先位置に関する関係式

$$\begin{aligned} & -a_6 c_6 A + a_6 s_6 B - a_5 A - a_{34} s_1 s_{23} - a_2 s_1 s_2 \\ & = a_6 n_x - a_5 A - a_{34} s_1 s_{23} - a_2 s_1 s_2 = P_x \end{aligned} \quad (19)$$

$$\begin{aligned} & a_6 c_6 C + a_6 s_6 D + a_5 C + a_{34} c_1 s_{23} + a_2 s_2 c_1 \\ & = a_6 n_y + a_5 C + a_{34} c_1 s_{23} + a_2 s_2 c_1 = P_y \end{aligned} \quad (20)$$

$$\begin{aligned} & a_6 c_6 E + a_6 s_6 F + a_5 E + a_{34} c_{23} + a_2 c_2 + a_1 \\ & = a_6 n_z + a_5 E + a_{34} c_{23} + a_2 c_2 + a_1 = P_z \end{aligned} \quad (21)$$

(但し、 $a_{34} = a_3 + a_4$  とする。)

から関節角  $\theta_6$  のみを含んだ 24 次の代数方程式を導いた。本節では、 $\theta_6$  の解を決定するための変換方程式をより低次元の形で表現することが目的である。次に 2 つのアプローチを示す。

## 2.1 解法 その1

まず、(20), (21) 式を次のようにならべかえる。

$$a_{34}s_{23} + a_2s_2 = \{P_y - a_6n_y - a_5C\} / c_1 = P_1 / c_1 \quad (22)$$

$$a_{34}c_{23} + a_2c_2 = P_z - a_6n_z - a_5E - a_1 = P_2 \quad (23)$$

ここで、 $P_1, P_2$  は  $\theta_6$  のみで表現した関数とし、付録Aに詳しく記載した。

さて、(22), (23) 式の左辺を

$$(a_{34}c_3 + a_2)s_2 + (a_{34}s_3)c_2 = P_1 / c_1$$

$$(a_{34}c_3 + a_2)c_2 - (a_{34}s_3)s_2 = P_2$$

と書き換え  $c_3, s_3$  を未知数として解くと、

$$a_{34}c_3 + a_2 = \frac{\begin{vmatrix} P_1 / c_1 & c_2 \\ P_2 & -s_2 \end{vmatrix}}{\begin{vmatrix} s_2 & c_2 \\ c_2 & -s_2 \end{vmatrix}} = \frac{\begin{vmatrix} P_1 / c_1 & c_2 \\ P_2 & -s_2 \end{vmatrix}}{\begin{vmatrix} P_1 / c_1 & c_2 \\ P_2 & -s_2 \end{vmatrix}} = (P_1 / c_1)s_2 + P_2c_2$$

$$a_{34}s_3 = (P_1 / c_1)c_2 - P_2s_2$$

を得る。従って、未知数  $s_3, c_3$  が  $s_2, c_2$  を使って表示された。すなわち、

$$a_{34}c_3 = (P_1 / c_1)s_2 + P_2c_2 - a_2 \quad (24)$$

$$a_{34}s_3 = (P_1 / c_1)c_2 - P_2s_2 \quad (25)$$

今、 $\tan \theta_{23} = s_{23} / c_{23}$  の分母分子に上で求めた (24), (25) を代入すると

$$\tan \theta_{23} = \frac{P_1 / c_1 - a_2s_2}{P_2 - a_2c_2} = \frac{K}{c_1} \quad (26)$$

となる。ここで、Kは  $\tan \theta_{23}$  を  $\theta_6$  と  $\theta_1$  で表現した時の  $\theta_6$  のみの関係式で、詳細は付録Aに掲載した。(26) 式を整理して

$$a_2s_2c_1 = P_1 - K(P_2 - a_2c_2) \quad (27)$$

を得る。

ところで、 $s_2, c_2$  に関するもう1つの関係式として、(24), (25) 式の両辺を2乗して辺々加え合わせると、

$$P_1^2 + P_2^2c_1^2 - 2a_2c_2P_2c_1^2 - 2a_2P_1s_2c_1 = -a_2c_1^2 \quad (28)$$

(但し、 $a = a_2^2 - a_{34}^2$  とする。)

が導き出せる。勿論  $s_2, c_2$  間の関係式 (27) 式と  $s_2^2 + c_2^2 = 1$  から  $s_2, c_2$  の解を決定することも考えられなくはないが、根号を含む複雑な形となるため (28) 式と合わせて比較的簡単な記述ができるようにする。(27), (28) 式から所望の  $s_2, c_2$  は次のように表せる。

$$a_2 c_2 = \frac{P_2^2 c_1^2 - P_1^2 + a c_1^2 + 2 P_1 P_2 K}{2 (K P_1 + P_2 c_1^2)} = \frac{\Gamma_1}{\Gamma_3} \quad (29)$$

$$a_2 s_2 = \frac{K (P_1^2 - P_2^2 c_1^2 + a c_1^2) + 2 P_1 P_2 c_1^2}{2 (K P_1 + P_2 c_1^2) c_1} = \frac{\Gamma_2}{c_1 \Gamma_3} \quad (30)$$

(29), (30) 式を結合して、ここに 1 つの関係式 (31) を得る。

$$(\Gamma_1 / \Gamma_3)^2 + (\Gamma_2 / c_1 \Gamma_3)^2 = a_2^2 \quad (31)$$

最後に、付録 A に示した  $t$  に関する有理式  $P_1, P_2, K$  を (31) 式の中に代入すると、目的の代数方程式が得られたことになる。以下、(31) 式の各項を計算すると、

$$\begin{aligned} \Gamma_1 &= \frac{1}{(1+t^2)^2 (X^2+Y^2)} \left\{ \left( \sum_{i=0}^2 d o_i t^i \right)^2 - (X^2+Y^2) + a (1+t^2)^2 \right. \\ &\quad \left. - \frac{2 (X^2+Y^2) (o_z + 2 n_z t - o_z t^2) \sum_{i=0}^2 d o_i t^i}{B} \right\} \\ &= \frac{1}{(1+t^2)^2 (X^2+Y^2)} \left\{ \sum_{i=0}^4 d_i t^i - \sum_{i=0}^4 f_i t^i + a (1+t^2)^2 \right. \\ &\quad \left. - \frac{2 \sum_{i=0}^4 f_i t^i (o_z + 2 n_z t - o_z t^2) \sum_{i=0}^2 d o_i t^i}{B} \right\} \\ &= \frac{1}{(1+t^2)^2 (X^2+Y^2)} \left\{ \frac{B \sum_{i=0}^4 g_i t^i - 2 \sum_{i=0}^6 h_i t^i \sum_{i=0}^2 d o_i t^i}{B} \right\} \\ &= \frac{1}{(1+t^2)^2 (X^2+Y^2)} \frac{Y^2 \left\{ \sum_{i=0}^8 j_i t^i \right\}}{\sum_{i=0}^4 b_i t^i} \quad (32) \end{aligned}$$

ここで、

$$\sum_{i=0}^4 g_i t^i = \sum_{i=0}^4 (d_i - f_i) t^i + a (1+t^2)^2 \quad (33)$$

$$\sum_{i=0}^4 d_i t^i = (\sum_{i=0}^2 d o_i t^i)^2 \quad (34)$$

$$X^2 + Y^2 = \sum_{i=0}^4 f_i t^i \quad (35)$$

$$B = \sum_{i=0}^4 b_i t^i \quad (36)$$

$$\sum_{i=0}^8 j_i t^i = \sum_{i=0}^4 g_i t^i \sum_{i=0}^4 b_i t^i - 2 \sum_{i=0}^6 h_i t^i \sum_{i=0}^2 d o_i t^i \quad (37)$$

$$\sum_{i=0}^6 h_i t^i = \sum_{i=0}^4 f_i t^i (o_z + 2 n_z t - o_z t^2) \quad (38)$$

次に、 $\Gamma_2$  は、

$$\begin{aligned} \Gamma_2 &= \frac{1}{(1+t^2)^2} \frac{Y^3}{\sum_{i=0}^4 b_i t^i (X^2 + Y^2)} \left\{ -(o_z + 2 n_z t - o_z t^2) \sum_{i=0}^4 f_i t^i \right. \\ &\quad \left. + (o_z + 2 n_z t - o_z t^2) \sum_{i=0}^4 d_i t^i - a (o_z + 2 n_z t - o_z t^2) + 2 \sum_{i=0}^4 d_i t^i \sum_{i=0}^6 b_i t^i \right\} \\ &= \frac{1}{(1+t^2)^2} \frac{Y^3}{\sum_{i=0}^4 b_i t^i (X^2 + Y^2)} \left\{ (o_z + 2 n_z t - o_z t^2) \sum_{i=0}^4 (GG)_i t^i + 2 \sum_{i=0}^6 (BD)_i t^i \right\} \\ &= \frac{1}{(1+t^2)^2} \frac{Y^3}{\sum_{i=0}^4 b_i t^i (X^2 + Y^2)} \sum_{i=0}^6 (LB)_i t^i \quad (39) \end{aligned}$$

となる。

但し、

$$\sum_{i=0}^4 (GG)_i t^i = \sum_{i=0}^4 (d_i - f_i) t^i - a (1+t^2)^2 \quad (40)$$

$$\sum_{i=0}^6 (LB)_i t^i = \sum_{i=0}^6 L_i t^i + 2 \sum_{i=0}^6 (BD)_i t^i \quad (41)$$

$$\sum_{i=0}^6 L_i t^i = (o_z + 2 n_z t - o_z t^2) \sum_{i=0}^4 (GG)_i t^i \quad (42)$$

$$\sum_{i=0}^6 (BD)_i t^i = \sum_{i=0}^4 b_i t^i \sum_{i=0}^2 d o_i t^i \quad (43)$$

$\Gamma_3$  についても同様に簡略化を行うと、

$$\begin{aligned} \Gamma_3 &= \frac{2 Y^2}{(1+t^2)} \left\{ \frac{(o_z + 2 n_z t - o_z t^2)}{\sum_{i=0}^4 b_i t^i} - \frac{\sum_{i=0}^2 d o_i t^i}{(X^2 + Y^2)} \right\} \\ &= \frac{2 Y^2}{(1+t^2)} \left\{ \frac{(o_z + 2 n_z t - o_z t^2) \sum_{i=0}^4 f_i t^i - \sum_{i=0}^4 b_i t^i \sum_{i=0}^2 d o_i t^i}{\sum_{i=0}^4 f_i t^i \sum_{i=0}^4 b_i t^i} \right\} \\ &= \frac{2 Y^2}{(1+t^2)} \frac{\sum_{i=0}^6 (HH)_i t^i}{\sum_{i=0}^4 f_i t^i \sum_{i=0}^4 b_i t^i} \quad (44) \end{aligned}$$

$$\text{但し}, \quad \sum_{i=0}^6 (HH)_i t^i = \sum_{i=0}^6 h_i t^i - \sum_{i=0}^6 (BD)_i t^i \quad (45)$$

が得られる。従って、(32), (39), (44) から

$$(I_1/I_3)^2 = \frac{1}{4(1+t^2)^2} \frac{\left(\sum_{i=0}^8 J_i t^i\right)^2}{\left\{\sum_{i=0}^6 (HH)_i t^i\right\}^2} \quad (46)$$

$$(I_2/c_1 I_3)^2 = \frac{Y^2}{4(1+t^2)^2} \frac{\left\{\sum_{i=0}^6 (LB)_i t^i\right\}^2}{\left\{\sum_{i=0}^6 (HH)_i t^i\right\}^2} \frac{(X^2+Y^2)}{Y^2} \quad (47)$$

となり、それぞれ  $t$  の有理式で記述された。両式を結びつけた最終的な多項式は、

$$\begin{aligned} \sum_{i=0}^{16} n_i t^i + \sum_{i=0}^{16} m_i t^i &= 4 a_2^2 (1+t^2)^2 \left\{\sum_{i=0}^6 (HH)_i t^i\right\}^2 \\ \sum_{i=0}^{16} q_i t^i &= \sum_{i=0}^{16} p_i t^i \end{aligned} \quad (48)$$

で表される。

$$\text{ここで, } \sum_{i=0}^{16} q_i t^i = \sum_{i=0}^{16} (n_i + m_i) t^i \quad (49)$$

$$\sum_{i=0}^{16} p_i t^i = 4 a_2^2 (1+t^2)^2 \left\{\sum_{i=0}^6 (HH)_i t^i\right\}^2 \quad (50)$$

$$\sum_{i=0}^{16} m_i t^i = \left\{\sum_{i=0}^6 (LB)_i t^i\right\}^2 - \sum_{i=0}^4 f_i t^i \quad (51)$$

$$\sum_{i=0}^{16} n_i t^i = \left(\sum_{i=0}^8 J_i t^i\right)^2 \quad (52)$$

## 2.2 解法 その2

参考文献(3)で扱った $\psi$ の有理関数表示は、

$$\psi = \frac{c_1}{(1+t^2)(y_n - 2 a_5 o_y t + y_p t^2)} \left(\sum_{i=0}^4 \overline{C} \overline{C}_i t^i\right) \quad (53)$$

であった。ここで  $\sum_{i=0}^4 \overline{C} \overline{C}_i t^i$  の各係数に注意を向け再度整理しなおしてみると、

$$\begin{aligned} \overline{C} \overline{C}_0 &= a_5 (n_y y_n - n_x x_n) + x_n X X - y_n Y Y = x_n (XX - a_5 n_x) + y_n (a_5 n_y - YY) \\ &= x_n^2 + y_n^2 \end{aligned} \quad (54)$$

$$\begin{aligned} \overline{C} \overline{C}_1 &= 2 a_5 \{ (o_x x_n - o_y y_n) - a_5 (n_x o_x + n_y o_y) + o_x X X + o_y Y Y \} \\ &= 2 a_5 \{ o_x x_n - o_y y_n + o_x (XX - a_5 n_x) + o_y (YY - a_5 n_y) \} \\ &= 2 a_5 \{ o_x x_n - o_y y_n + o_x x_n - o_y y_n \} = 4 a_5 (o_x x_n - o_y y_n) \end{aligned} \quad (55)$$

$$\begin{aligned}
\overline{CC}_2 &= a_5 \{ (n_x x_n - n_y y_n) + (n_y y_p - n_x x_p) + 4a_5 (o_x^2 + o_y^2) \} + x_n XX - y_n YY + x_p XX - y_p YY \\
&= x_n (XX + a_5 n_x) - y_n (YY + a_5 n_y) + x_p (XX - a_5 n_x) + y_p (a_5 n_y - YY) - 4a_5^2 (o_x^2 + o_y^2) \\
&= x_n x_p + y_n y_p + x_p x_n + y_p y_n + 4a_5^2 (o_x^2 + o_y^2) \\
&= 2(x_n x_p + y_n y_p) + 4a_5^2 (o_x^2 + o_y^2)
\end{aligned} \tag{56}$$

$$\begin{aligned}
\overline{CC}_3 &= 2a_5 \{ (o_x x_p - o_y y_p) + a_5 (n_x o_x + n_y o_y) + o_x XX + o_y YY \} \\
&= 2a_5 \{ o_x x_p - o_y y_p + o_x (XX + a_5 n_x) + o_y (YY - a_5 n_y) \} \\
&= 2a_5 \{ o_x x_p - o_y y_p + o_x x_p - o_y y_p \} = 4a_5 (o_x x_p - o_y y_p)
\end{aligned} \tag{57}$$

$$\begin{aligned}
\overline{CC}_4 &= a_5 (n_x x_p - n_y y_p) + x_p XX - y_p YY = x_p (XX + a_5 n_x) - y_p (YY + a_5 n_y) \\
&= x_p^2 + y_p^2
\end{aligned} \tag{58}$$

となる。この  $\overline{CC}_i$  を  $\sum_{i=0}^4 f_i t^i$  の係数  $f_i$  と比較すると完全に一致していることがわかる。即ち、  
 $\sum_{i=0}^4 \overline{CC}_i t^i$  は  $\sum_{i=0}^4 f_i t^i$  そのものである。このことから、以前取り扱った導出過程の一部が以下のように簡略化され次数の低下につながる。

まず、 $\psi^2 + \eta^2$  を記述する過程で

$$\psi^2 + \eta^2 = \frac{1}{(1+t^2)^2} \left\{ \frac{\left(\sum_{i=0}^4 \overline{CC}_i t^i\right)^2}{\sum_{i=0}^4 f_i t^i} + \sum_{i=0}^4 d_i t^i \right\}$$

の右辺第1項は約分できて、

$$= \frac{1}{(1+t^2)^2} \left\{ \sum_{i=0}^4 f_i t^i + \sum_{i=0}^4 d_i t^i \right\} \tag{59}$$

結果は、単に4次の有理式となる。従って、

$$\psi^2 + \eta^2 - a = \frac{1}{(1+t^2)^2} \sum_{i=0}^4 G_i t^i \tag{60}$$

と表せる。(但し、 $\sum_{i=0}^4 G_i t^i = \sum_{i=0}^4 (d_i + f^i) t^i - a (1+t^2)^2$ )  
ここで、(60)式の両辺を2乗した関係式(62)を作つておく。

$$(\psi^2 + \eta^2 - a)^2 = \frac{1}{(1+t^2)^4} (\sum_{i=0}^4 G_i t^i)^2 = \frac{1}{(1+t^2)^4} \sum_{i=0}^8 (GS)_i t^i \tag{62}$$

一方、 $4a_{34}^2 c_{23}^2 (k\eta + \psi)^2$  は、以前の式と同様に、

$$4 a_{34}^2 c_{23}^2 (k\eta + \psi)^2 = \frac{\sum_{i=0}^{12} m_i t^i}{(1+t^2)^2 \sum_{i=0}^8 L_i t^i} \quad (63)$$

となる。(62), (63)両式を等しく置いて

$$\frac{1}{(1+t^2)^4} \sum_{i=0}^8 (GS)_i t^i = \frac{\sum_{i=0}^{12} m_i t^i}{(1+t^2)^2 \sum_{i=0}^8 L_i t^i} \quad (64)$$

$$\sum_{i=0}^8 (GS)_i t^i \sum_{i=0}^8 L_i t^i = (1+t^2)^2 \sum_{i=0}^{12} m_i t^i \quad (65)$$

を得る。これより、分母を払ってまとめた目的の多項式は、次のように記述される。

$$f(t) = \sum_{i=0}^{16} r_i t^i = 0 \quad (66)$$

### 3. 結果と要約

文献(3)では、運動学方程式から関節解の多値性が扱える変換方程式を24次の多項式として導かれていたが、本研究では、従来のこのモデルより8次低い変換多項式を2つのアプローチで個別に導出した。実施した関節解の計算結果(付録B参照)は、有効桁数内で値、個数共に24次多項式から引出された従来の結果と対比して完全に一致していることを確認した。次数を低下させたことで、計算誤差の減少がTable 1と2の比較から明らかである。2つの表は、付録Bがしめす指先軌道の途中位置における一組の関節解の結果を取り上げたもので、Table 1は従来のモデル、またTable 2は今回提案したモデルから導かれたものである。表の内容について簡単に説明すると、Tは代数方程式の根を示す。INPUT VALUESの右方3行3列の数字の並びは指先の姿勢を表し、右端の3列は上から下にむけx, y, z方向の指先位置を示す入力データである。以下数字の並び方は他の場合にも同一とする。2番目のCALCULATED VALUESは上に示した関節解を使って順方向に指先姿勢とその位置を計算したものである。第3番目のABSOLUTE ERRORSが解の再現性を示す尺度として入力データと順方向に計算した値の誤差でもって表現している。

もともと、当初の高次方程式モデルは精度よく解くためにいくつかの方策や吟味がなされていたため解そのものを採用する立場からするとまったく問題はないが、同一の結果を効率よく導く上で最初から不要根が回避できる低次のモデルの方が、計算時間や丸め誤差の蓄積排除の点からしても合理的でかつ有効なものといえる。

今回導き出した変換方程式の中にはまだ解と無関係な根を含むため、今後運動学の諸関係を再整理し、新たな立場から解の誘導方法を議論することが1つの目標となるであろう。

$$4 a_{34}^2 c_{23}^2 (k \eta + \psi)^2 = \frac{\sum_{i=0}^{12} m_i t^i}{(1+t^2)^2 \sum_{i=0}^8 L_i t^i} \quad (63)$$

となる。(62), (63)両式を等しく置いて

$$\frac{1}{(1+t^2)^4} \sum_{i=0}^8 (GS)_i t^i = \frac{\sum_{i=0}^{12} m_i t^i}{(1+t^2)^2 \sum_{i=0}^8 L_i t^i} \quad (64)$$

$$\sum_{i=0}^8 (GS)_i t^i \sum_{i=0}^8 L_i t^i = (1+t^2)^2 \sum_{i=0}^{12} m_i t^i \quad (65)$$

を得る。これより、分母を払ってまとめた目的の多項式は、次のように記述される。

$$f(t) = \sum_{i=0}^{16} r_i t^i = 0 \quad (66)$$

### 3. 結果と要約

文献(3)では、運動学方程式から関節解の多値性が扱える変換方程式を24次の多項式として導かれていたが、本研究では、従来のこのモデルより8次低い変換多項式を2つのアプローチで個別に導出した。実施した関節解の計算結果(付録B参照)は、有効桁数内で値、個数共に24次多項式から引出された従来の結果と対比して完全に一致していることを確認した。次数を低下させたことで、計算誤差の減少がTable 1と2の比較から明らかである。2つの表は、付録Bがしめす指先軌道の途中位置における一組の関節解の結果を取り上げたもので、Table 1は従来のモデル、またTable 2は今回提案したモデルから導かれたものである。表の内容について簡単に説明すると、Tは代数方程式の根を示す。INPUT VALUESの右方3行3列の数字の並びは指先の姿勢を表し、右端の3列は上から下にむけx, y, z方向の指先位置を示す入力データである。以下数字の並び方は他の場合にも同一とする。2番目のCALCULATED VALUESは上に示した関節解を使って順方向に指先姿勢とその位置を計算したものである。第3番目のABSOLUTE ERRORSが解の再現性を示す尺度として入力データと順方向に計算した値の誤差でもって表現している。

もともと、当初の高次方程式モデルは精度よく解くためにいくつかの方策や吟味がなされていましたが、解そのものを採用する立場からするとまったく問題はないが、同一の結果を効率よく導く上で最初から不要根が回避できる低次のモデルの方が、計算時間や丸め誤差の蓄積排除の点からしても合理的でかつ有効なものといえる。

今回導き出した変換方程式の中にはまだ解と無関係な根を含むため、今後運動学の諸関係を再整理し、新たな立場から解の誘導方法を議論することが1つの目標となるであろう。

## 謝 辞

本報告書作成の上で原子炉制御研究室篠原慶邦室長から有益なアドバイスをいただき深謝致します。

## 参 考 文 献

1. J. Denavit & R. S. Hartenberg : A Kinematic Notation for Low-Pair Mechanisms Based on Matrices, *J. Applied Mechanics*, 22, June, 215 / 221, (1955)
2. R. C. Paul : *Robot Manipulators—Mathematics, Programming and Control*, MIT Press, (1981)
3. S. Sasaki : A Method of Solving the Inverse Kinematics of a Manipulator Arm, JAERI-M 86-018, Feb, 1986.
4. S. Sasaki : Computer Code ARM1 for Solving the Inverse Kinematics of a Six-Link Manipulator Arm, JAERI-M 86-059, Mar. 1986.
5. S. Sasaki : A Rigorous Algorithm for Solving the Inverse Kinematics of a Manipulator Arm, JAERI-M 86-108, July 1986.
6. S. Sasaki et al., : Exact Solution of the Inverse Problem for a Six-Link Manipulator with a Mechanical Offset, JAERI-M 86-180, Dec. 1986.

## 謝 辞

本報告書作成の上で原子炉制御研究室篠原慶邦室長から有益なアドバイスをいただき深謝致します。

## 参 考 文 献

1. J. Denavit & R. S. Hartenberg : A Kinematic Notation for Low-Pair Mechanisms Based on Matrices, *J. Applied Mechanics*, 22, June, 215 / 221, (1955)
2. R. C. Paul : *Robot Manipulators—Mathematics, Programming and Control*, MIT Press, (1981)
3. S. Sasaki : A Method of Solving the Inverse Kinematics of a Manipulator Arm, JAERI-M 86-018, Feb, 1986.
4. S. Sasaki : Computer Code ARM1 for Solving the Inverse Kinematics of a Six-Link Manipulator Arm, JAERI-M 86-059, Mar. 1986.
5. S. Sasaki : A Rigorous Algorithm for Solving the Inverse Kinematics of a Manipulator Arm, JAERI-M 86-108, July 1986.
6. S. Sasaki et al., : Exact Solution of the Inverse Problem for a Six-Link Manipulator with a Mechanical Offset, JAERI-M 86-180, Dec. 1986.

Table 1 Joint Solutions by Previous Model

```
*****
NO. ----- 13 --- 1
ANSWER OF POLYNOMIAL ----- T = 0.12019D+00 < T = TAN(THETA6/2) >
ADOPT ANSWERS (DEG) -----
THETA1 = -179.8294 THETA2 = -0.0032 THETA3 = -89.2975
THETA4 = 166.2920 THETA5 = -89.2802 THETA6 = 13.7069

INPUT      0.0      : 1.00000D+00 : 0.0      : -3.65854D-02
VALUES --- 0.0      : 0.0      : 1.00000D+00 : 3.50000D-01
          1.00000D+00 : 0.0      : 0.0      : 1.63100D+00

CALCULATED 1.29069D-07 : 1.00000D+00 : -1.57523D-09 : -3.65853D-02
VALUES --- -6.45847D-09 : 1.57523D-09 : 1.00000D+00 : 3.50000D-01
          1.00000D+00 : -1.29069D-07 : 6.45847D-09 : 1.63100D+00

ABSOLUTE   1.29069D-07 : 8.32667D-15 : 1.57523D-09 : 5.49484D-08
ERRORS --- 6.45847D-09 : 1.57523D-09 : 4.16334D-17 : 2.80554D-09
          8.36831D-15 : 1.29069D-07 : 6.45847D-09 : 4.58755D-09
*****
```

Table 2 Joint Solutions by Present Model

```
*****
NO. ----- 13 --- 1
ANSWER OF POLYNOMIAL ----- T = 0.12019D+00 < T = TAN(THETA6/2) >
ADOPT ANSWERS (DEG) -----
THETA1 = -179.8294 THETA2 = -0.0032 THETA3 = -89.2975
THETA4 = 166.2920 THETA5 = -89.2802 THETA6 = 13.7069

INPUT      0.0      : 1.00000D+00 : 0.0      : -3.65854D-02
VALUES --- 0.0      : 0.0      : 1.00000D+00 : 3.50000D-01
          1.00000D+00 : 0.0      : 0.0      : 1.63100D+00

CALCULATED 5.04999D-12 : 1.00000D+00 : -6.16649D-14 : -3.65854D-02
VALUES --- -2.52956D-13 : 6.16644D-14 : 1.00000D+00 : 3.50000D-01
          1.00000D+00 : -5.04993D-12 : 2.52957D-13 : 1.63100D+00

ABSOLUTE   5.04999D-12 : 1.38778D-17 : 6.16649D-14 : 2.14983D-12
ERRORS --- 2.52956D-13 : 6.16644D-14 : 0.0      : 1.09940D-13
          1.38778D-17 : 5.04993D-12 : 2.52957D-13 : 1.79190D-13
*****
```

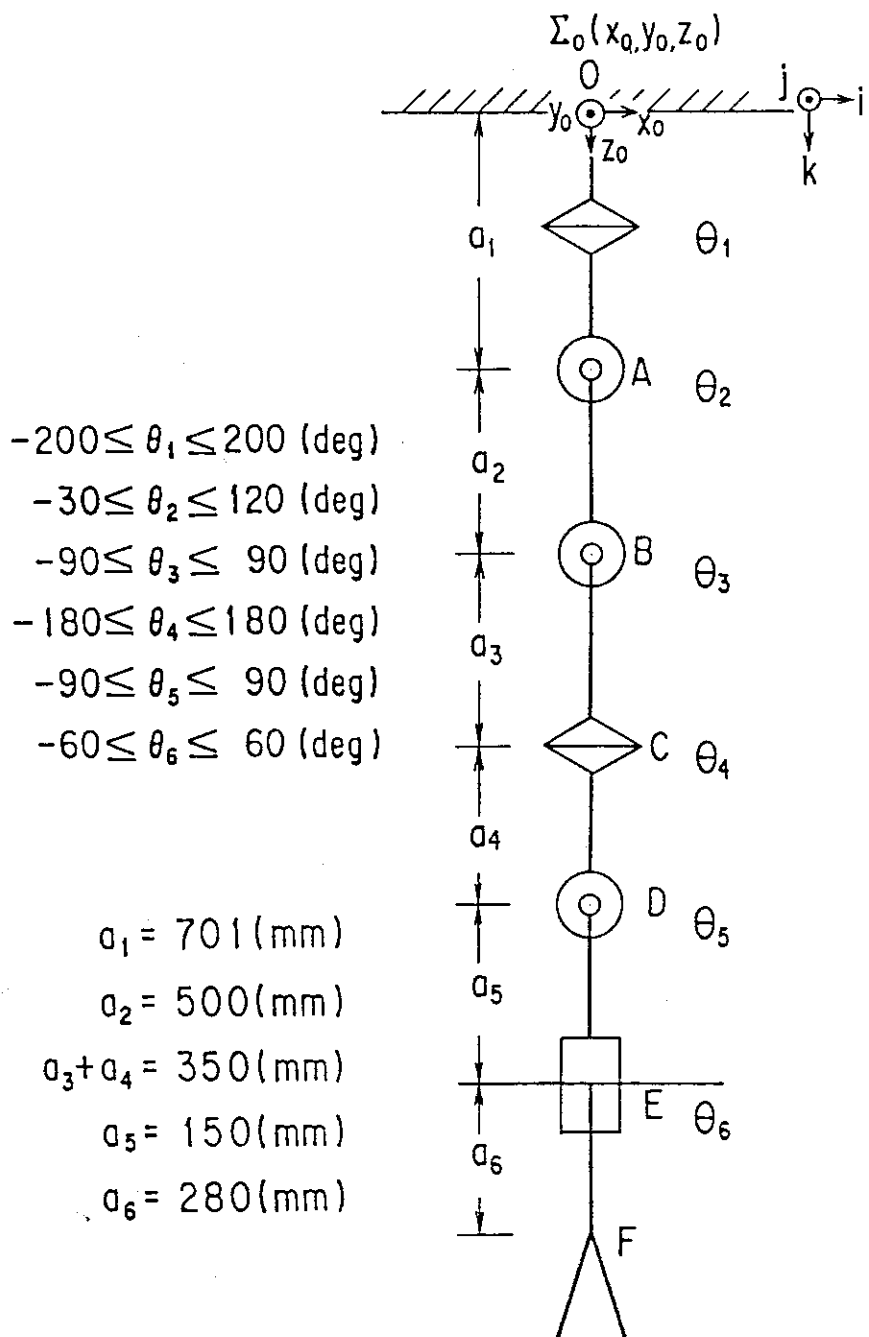


Fig. 1 A Six-Link Manipulator to be Studied

## 付 錄 A

運動学方程式から多項式を導き出す過程で採用したパラメータ  $P_1, P_2, K$  を  $t$  の有理式で記述する。

1.  $P_1$  の表示

$$P_1 = P_y - a_6 n_y - a_5 C = P_y - a_6 n_y - a_5 (n_y c_6 - o_y s_6)$$

この式のなかにでてきた三角関数を  $\tan(\theta_6/2) = t$  と置いて書き換えると,

$$\begin{aligned} P_1 &= P_y - a_6 n_y - a_5 n_y \frac{(1-t^2)}{(1+t^2)} + \frac{2 a_5 o_y t}{(1+t^2)} = Y Y - a_5 n_y \frac{(1-t^2)}{(1+t^2)} + \frac{2 a_5 o_y t}{(1+t^2)} \\ &= \{ Y Y - a_5 n_y + 2 a_5 o_y t + (Y Y + a_5 n_y) t^2 \} / (1+t^2) \\ &= -(y_n - 2 a_5 o_y t + y_p t^2) / (1+t^2) = -Y / (1+t^2) \end{aligned} \quad (\text{A. 1})$$

となる。ここで,

$$\begin{cases} Y Y = P_y - a_6 n_y \\ y_n = a_5 n_y - Y Y, \quad y_p = -(a_5 n_y + Y Y), \quad Y Y = P_y - a_6 n_y \end{cases} \quad (\text{A. 2})$$

2.  $P_2$  の表示

$$P_2 = P_z - a_6 n_z - a_5 E - a_1 = Z Z - a_5 (n_z c_6 - o_z s_6)$$

$$\begin{aligned} &= Z Z - a_5 n_z \frac{(1-t^2)}{(1+t^2)} + \frac{2 a_5 o_z t}{(1+t^2)} \\ &= \{ Z Z - a_5 n_z + 2 a_5 o_z t + (Z Z + a_5 n_z) t^2 \} / (1+t^2) \\ &= -(z_n - 2 a_5 o_z t + z_p t^2) / (1+t^2) = -\left(\sum_{i=0}^2 d o_i t^i\right) / (1+t^2) \end{aligned} \quad (\text{A. 3})$$

$$\begin{cases} \text{但し}, \quad Z Z = P_z - a_1 - a_6 n_z \\ z_n = a_5 n_z - Z Z, \quad z_p = -(a_5 n_z + Z Z) \end{cases} \quad (\text{A. 4})$$

3.  $K$  の表示

(14), (16) を  $s_4 c_{23}$  について解き,

$$s_4 c_{23} = D c_i - B s_1 = (n_y s_6 + o_y c_6) c_1 - (n_x s_6 + o_x c_6) s_1 \quad (\text{A. 5})$$

また,  $s_4 s_{23}$  は式 (18) 式から

$$s_4 s_{23} = -F = - (o_z c_6 + n_z s_6) \quad (\text{A. 6})$$

を得る。(A. 5), (A. 6) から  $\tan \theta_{23}$  を求めると

$$\begin{aligned} \tan \theta_{23} &= \frac{-(o_z c_6 + n_z s_6)}{c_1 \{ n_y s_6 + o_y c_6 - (n_x s_6 + o_x c_6) \} (X/Y)} \\ &= \frac{-(o_z c_6 + n_z s_6) Y}{c_1 \{ (n_y s_6 + o_y c_6) Y - (n_x s_6 + o_x c_6) X \}} \\ &= \frac{-Y \{ o_z (1 - t^2) + 2 n_z t \}}{c_1 [ \{ 2 n_y t + o_y (1 - t^2) \} Y - \{ 2 n_x t + o_x (1 - t^2) \} X ]} \\ &= \frac{-Y (o_z + 2 n_z t - o_z t^2)}{c_1 \{ (o_y Y - o_x X) + 2 (n_y Y - n_x X) t + (o_x X - o_y Y) t^2 \}} \quad (A. 7) \end{aligned}$$

$$\left\{ \begin{array}{l} \text{但し, } \tan \theta_1 = \frac{X}{Y} = \frac{(x_n + 2 a_5 o_x t + x_p t^2)}{(y_n - 2 a_5 o_y t + y_p t^2)} \\ \quad x_n = -a_5 n_x + XX, \quad x_p = a_5 n_x + XX \\ \quad XX = P_x - a_6 n_x \end{array} \right. \quad (A. 8)$$

$$x_n = -a_5 n_x + XX, \quad x_p = a_5 n_x + XX \quad (A. 9)$$

$$XX = P_x - a_6 n_x \quad (A. 10)$$

(A. 7) の分母を整理すると,

$$\begin{aligned} o_y Y - o_x X &= o_y (y_n - 2 a_5 o_y t + y_p t^2) - o_x (x_n + 2 a_5 o_x t + x_p t^2) \\ &= (o_y y_n - o_x x_n) - 2 a_5 (o x^2 + o y^2) t - (o_x x_p - o_y y_p) t^2 \\ 2 (n_y Y - n_x X) t &= 2 n_y (y_n - 2 a_5 o_y t + y_p t^2) t - 2 n_x (x_n + 2 a_5 o_x t + x_p t^2) t \\ &= 2 (n_y y_n - n_x x_n) t - 4 a_5 (n_y o_y + n_x o_x) t^2 + 2 (n_y y_p - n_x x_p) t^3 \\ (o_x X - o_y Y) t^2 &= [ o_x (x_n + 2 a_5 o_x t + x_p t^2) - o_y (y_n - 2 a_5 o_y t + y_p t^2) ] t^2 \\ &= (o_x x_n - o_y y_n) t^2 + 2 a_5 (o x^2 + o y^2) t^3 + (o_x x_p - o_y y_p) t^4 \end{aligned}$$

$$\begin{aligned} (\text{分母}) &= [ (o_y y_n - o_x x_n) + 2 \{ (n_y y_n - n_x x_n) - a_5 (o x^2 + o y^2) \} t + \{ (o_x x_n - o_y y_n) \\ &\quad - (o_x x_p - o_y y_p) - 4 a_5 (n_y o_y + n_x o_x) \} t^2 + 2 \{ (n_y y_p - n_x x_p) + a_5 (o x^2 \\ &\quad + o y^2) \} t^3 + (o_x x_p - o_y y_p) t^4 ] c_1 \\ &= c_1 \sum_{i=0}^4 b_i t^i \quad (A. 11) \end{aligned}$$

$$\tan \theta_{23} = \frac{-Y (o_z + 2 n_z t - o_z t^2)}{c_1 \sum_{i=0}^4 b_i t^i} = \frac{K}{c_1} \quad (A. 12)$$

$$K = \frac{-Y(o_z + 2n_z t - o_z t^2)}{\sum_{i=0}^4 b_i t^i} = \frac{-(y_n - 2a_5 o_y t + y_p t^2)(o_z + 2n_z t - o_z t^2)}{\sum_{i=0}^4 b_i t^i} \quad (A. 13)$$

## 付録 B

今回の16次多項式モデル(P1)と従来の24次モデル(P2)による同一軌道に対するマニピュレータ各関節角の計算結果を次のTableに示す。与えた指先の軌道は、作業空間内の2点A(-0.10, 0.35, 1.63), B(0.10, 0.35, 1.63) (単位m)で方向を一定( $n_z=1$ ,  $o_y=o_z=0$ )にした運動とする。No. 0が軌道開始点での対応する関節解を集めたものであり、No. 41が目標点でのそれを示す。P1, P2を比較すると同じ空間位置に対する解の数、計算値とも軌道上のすべての点で一致していることがわかる。

P1- Model

THETA ( DEG )							THETA ( DEG )						
1	2	3	4	5	6	-	1	2	3	4	5	6	-
NO. -- -177.2467 0 --- 1 -0.1502 -85.7259 146.2277 -85.0428 35.6731	NO. -- -177.2467 0 --- 1 -0.1502 -85.7259 146.2277 -85.0428 35.6731												
NO. -- 2.7533 0 --- 1 0.1502 85.7259 -33.7722 -85.0428 33.6731	NO. -- 2.7533 0 --- 1 0.1502 85.7259 -33.7722 -85.0428 33.6731												
NO. -- 182.7533 0 --- 1 -0.1502 -85.7259 146.2277 -85.0428 33.6731	NO. -- 182.7533 0 --- 1 -0.1502 -85.7259 146.2277 -85.0428 33.6731												
NO. -- 18.0896 0 --- 2 70.5747 -87.7473 -18.8751 16.2995 -5.4810	NO. -- 18.0896 0 --- 2 70.5747 -87.7473 -18.8751 16.2995 -5.4810												
NO. -- -177.5756 1 --- 1 -0.1250 -86.0568 147.5513 -85.4780 32.3679	NO. -- -177.5756 1 --- 1 -0.1250 -86.0568 147.5513 -85.4780 32.3679												
NO. -- 2.4244 1 --- 1 0.1250 86.0568 -32.4487 -85.4780 32.3679	NO. -- 2.4244 1 --- 1 0.1250 86.0568 -32.4487 -85.4780 32.3679												
NO. -- 182.4244 1 --- 1 -0.1250 -86.0568 147.5513 -85.4780 32.3679	NO. -- 182.4244 1 --- 1 -0.1250 -86.0568 147.5513 -85.4780 32.3679												
NO. -- -17.3077 1 --- 2 70.5241 -87.9459 -18.0868 16.6095 -5.3335	NO. -- -17.3077 1 --- 2 70.5241 -87.9459 -18.0868 16.6095 -5.3335												
NO. -- 2 --- 2 --- 1 -0.1028 -86.3825 148.9123 -85.8978 31.0228	NO. -- 2 --- 2 --- 1 -0.1028 -86.3825 148.9123 -85.8978 31.0228												
NO. -- 2.1169 2 --- 1 0.1028 86.3825 -31.0877 -85.8978 31.0228	NO. -- 2.1169 2 --- 1 0.1028 86.3825 -31.0877 -85.8978 31.0228												
NO. -- 182.1169 2 --- 1 -0.1028 -86.3825 148.9123 -85.8978 31.0228	NO. -- 182.1169 2 --- 1 -0.1028 -86.3825 148.9123 -85.8978 31.0228												
NO. -- 16.5135 2 --- 2 70.4751 -88.1371 -17.2828 16.9110 -5.1715	NO. -- 16.5135 2 --- 2 70.4751 -88.1371 -17.2828 16.9110 -5.1715												
NO. -- -178.1690 3 --- 1 -0.0836 -96.7021 150.3110 -86.3012 29.6376	NO. -- -178.1690 -0.0836 -96.7021 150.3110 -86.3012 29.6376												
NO. -- 1.8310 3 --- 1 0.0836 86.7021 -29.6890 -86.3012 29.6376	NO. -- 1.8310 0.0836 86.7021 -29.6890 -86.3012 29.6376												
NO. -- 181.8310 3 --- 1 -0.0836 -86.7021 150.3110 -86.3012 29.6376	NO. -- 181.8310 -0.0836 -86.7021 150.3110 -86.3012 29.6376												
NO. -- 15.7069 3 --- 2 70.4277 -88.3205 -16.4630 17.2034 -4.9951	NO. -- 15.7069 3 --- 2 70.4277 -88.3205 -16.4630 17.2034 -4.9951												
NO. -- 4 --- 4 --- 1 -0.0670 -87.0145 151.7475 -86.6876 28.2126	NO. -- 4 --- 4 --- 1 -0.0670 -87.0145 151.7475 -86.6876 28.2126												
NO. -- 1.5673 4 --- 1 0.0670 87.0145 -28.2525 -86.6876 28.2126	NO. -- 1.5673 0.0670 87.0145 -28.2525 -86.6876 28.2126												
NO. -- 4 --- 1	NO. -- 4 --- 1												

THETA ( DEG )		THETA ( DEG )													
		1	2	3	4	5	6								
		1	2	3	4	5	6								
NO. --	4 ---	-0.0670	-87.0145	151.7475	-86.6876	28.2126	181.5672	-0.0670	-87.0145	151.7475	-86.6876	28.2126			
NO. --	5 ---	2	70.3821	-88.4961	-15.6275	17.4859	-4.8043	NO. --	4 ---	2	70.3821	-88.4961	-15.6275	17.4859	-4.8043
NO. --	5 ---	1	-0.0529	-87.3186	153.2218	-87.0563	26.7478	NO. --	5 ---	1	-0.0529	-87.3186	153.2218	-87.0563	26.7478
NO. --	5 ---	1	0.0529	87.3186	-26.7782	-87.0563	26.7478	NO. --	5 ---	1	0.0529	87.3186	-26.7782	-87.0563	26.7478
NO. --	5 ---	1	-0.0529	-87.3186	153.2218	-87.0563	26.7478	NO. --	5 ---	1	-0.0529	-87.3186	153.2218	-87.0563	26.7478
NO. --	5 ---	2	70.3384	-88.6635	-14.7764	17.7577	-4.5994	NO. --	5 ---	2	70.3384	-88.6635	-14.7764	17.7577	-4.5994
NO. --	6 ---	1	-0.0411	-87.6132	154.7336	-87.4065	25.2438	NO. --	6 ---	1	-0.0411	-87.6132	154.7336	-87.4065	25.2438
NO. --	6 ---	1	0.0411	87.6132	-25.2664	-87.4065	25.2438	NO. --	6 ---	1	0.0411	87.6132	-25.2664	-87.4065	25.2438
NO. --	6 ---	1	-0.0411	-87.6132	154.7336	-87.4065	25.2438	NO. --	6 ---	1	-0.0411	-87.6132	154.7336	-87.4065	25.2438
NO. --	6 ---	2	70.2967	-88.8223	-13.9099	18.0179	-4.3806	NO. --	6 ---	2	70.2967	-88.8223	-13.9099	18.0179	-4.3806
NO. --	7 ---	1	-0.0313	-87.8971	156.2823	-87.7375	23.7012	NO. --	7 ---	1	-0.0313	-87.8971	156.2823	-87.7375	23.7012
NO. --	7 ---	1	0.0313	87.8971	-23.7177	-87.7375	23.7012	NO. --	7 ---	1	0.0313	87.8971	-23.7177	-87.7375	23.7012
NO. --	7 ---	1	-0.0313	-87.8971	156.2823	-87.7375	23.7012	NO. --	7 ---	1	-0.0313	-87.8971	156.2823	-87.7375	23.7012
NO. --	7 ---	2	70.2572	-88.9725	-13.0283	18.2659	-4.1480	NO. --	7 ---	2	70.2572	-88.9725	-13.0283	18.2659	-4.1480
NO. --	8 ---	1	-0.0233	-88.1689	157.8673	-88.0485	22.1211	NO. --	8 ---	1	-0.0233	-88.1689	157.8673	-88.0485	22.1211
NO. --	8 ---	1	0.0233	88.1689	-22.1327	-88.0485	22.1211	NO. --	8 ---	1	0.0233	88.1689	-22.1327	-88.0485	22.1211
NO. --	8 ---	1	-0.0233	-88.1689	157.8673	-88.0485	22.1211	NO. --	8 ---	1	-0.0233	-88.1689	157.8673	-88.0485	22.1211
NO. --	8 ---	2	70.2199	-89.1135	-12.1319	18.5006	-3.9022	NO. --	9 ---	1	-0.0169	-89.1135	-12.1319	18.5006	-3.9022
NO. --	9 ---	1	-0.0169	-88.4272	159.4876	-88.3386	20.5045	NO. --	9 ---	1	-0.0169	-88.4272	159.4876	-88.3386	20.5045
NO. --	9 ---	1	0.0169	88.4272	-20.5124	-88.3388	20.5045	NO. --	9 ---	1	0.0169	88.4272	-20.5124	-88.3388	20.5045
NO. --	9 ---	1	-0.0169	-88.4272	159.4876	-88.3388	20.5045	NO. --	9 ---	1	-0.0169	-88.4272	159.4876	-88.3388	20.5045

THETA ( DEG )		THETA ( DEG )													
		1	2	3	4	5	6	1	2	3	4	5	6		
NO. -- 10.6204	-- 9	2	70.1851	-89.2452	-11.2212	18.7214	-3.6435	9	2	70.1851	-89.2452	-11.2212	18.7214	-3.6435	
NO. -- 10	-- 1	1	-179.5500	-0.0118	-88.6797	161.1419	-88.6078	18.8529	10	1	-179.5500	-0.0118	-88.6797	161.1419	-88.6078
NO. -- 10	-- 1	1	0.4499	0.0118	88.6797	-18.8580	-88.6078	18.8529	10	1	0.4499	0.0118	88.6797	-18.8580	-88.6078
NO. -- 10	-- 1	1	180.4499	-0.0118	-88.6797	161.1419	-88.6078	18.8529	10	1	180.4499	-0.0118	-88.6797	161.1419	-88.6078
NO. -- 10	-- 2	2	9.7345	70.1527	-89.3673	-10.2968	18.9273	-3.5725	10	2	9.7345	70.1527	-89.3673	-10.2968	-3.5725
NO. -- 11	-- 1	1	-179.6619	-0.0080	-88.8978	162.8287	-88.8548	17.1680	11	1	-179.6619	-0.0080	-88.8978	162.8287	-88.8548
NO. -- 11	-- 1	1	0.3381	0.0080	88.8978	-17.1712	-88.8548	17.1680	11	1	0.3381	0.0080	88.8978	-17.1712	-88.8548
NO. -- 11	-- 1	1	180.3381	-0.0080	-88.8978	162.8287	-88.8548	17.1680	11	1	180.3381	-0.0080	-88.8978	162.8287	-88.8548
NO. -- 11	-- 2	2	8.8390	70.1229	-89.4794	-9.3594	19.1176	-3.0898	11	2	8.8390	70.1229	-89.4794	-9.3594	19.1176
NO. -- 12	-- 1	1	-179.7546	-0.0052	-89.1072	164.5461	-89.0791	15.4519	12	1	-179.7546	-0.0052	-89.1072	164.5461	-89.0791
NO. -- 12	-- 1	1	0.2454	0.0052	89.1072	-15.4538	-89.0791	15.4519	12	1	0.2454	0.0052	89.1072	-15.4538	-89.0791
NO. -- 12	-- 1	1	180.2454	-0.0052	-89.1072	164.5461	-89.0791	15.4519	12	1	180.2454	-0.0052	-89.1072	164.5461	-89.0791
NO. -- 12	-- 2	2	7.9345	70.0958	-89.5812	-8.4098	19.2914	-2.7963	12	2	7.9345	70.0958	-89.5812	-8.4098	-2.7963
NO. -- 13	-- 1	1	-179.8294	-0.0032	-89.2975	166.2920	-89.2802	13.7069	13	1	-179.8294	-0.0032	-89.2975	166.2920	-89.2802
NO. -- 13	-- 1	1	0.1706	0.0032	89.2975	-13.7080	-89.2802	13.7069	13	1	0.1706	0.0032	89.2975	-13.7080	-89.2802
NO. -- 13	-- 2	2	7.0217	70.0714	-89.6725	-7.4489	19.4481	-2.4926	13	2	7.0217	70.0714	-89.6725	-7.4489	-2.4926
NO. -- 13	-- 1	1	-179.8878	-0.0018	-89.4673	168.0639	-89.4574	11.9356	14	1	-179.8878	-0.0018	-89.4673	168.0639	-89.4574
NO. -- 14	-- 1	1	0.1122	0.0018	89.4673	-11.9361	-89.4574	11.9356	14	1	0.1122	0.0018	89.4673	-11.9361	-89.4574
NO. -- 14	-- 1	1	180.1122	-0.0018	-89.4673	168.0639	-89.4574	11.9356	14	1	180.1122	-0.0018	-89.4673	168.0639	-89.4574
NO. -- 14	-- 2	2	6.1014	70.0500	-89.7531	-6.4777	19.5869	-2.1798	14	2	6.1014	70.0500	-89.7531	-6.4777	-2.1798

		THETA ( DEG )						THETA ( DEG )							
		1	2	3	4	5	6	1	2	3	4	5	6		
NO.	--	15	---	1	-89.6155	169.8590	-89.6103	10.1408	-179.9314	---	1	-89.6155	169.8590	-89.6103	10.1408
NO.	--	15	---	1	89.6155	-10.1410	-89.6103	10.1408	0.0686	---	1	89.6155	-10.1410	-89.6103	10.1408
NO.	--	15	---	1	-89.6155	169.8590	-89.6103	10.1408	180.0686	---	1	-89.6155	169.8590	-89.6103	10.1408
NO.	--	15	---	2	-89.8226	-5.4973	19.7072	-1.8598	5.1744	---	2	-89.8226	-5.4973	19.7072	-1.8598
NO.	--	16	---	1	-89.7408	171.6743	-89.7384	8.3256	179.9621	---	1	-89.7408	171.6743	-89.7384	8.3256
NO.	--	16	---	1	89.7408	-8.3257	-89.7384	8.3256	0.0379	---	1	89.7408	-8.3257	-89.7384	8.3256
NO.	--	16	---	1	-89.7408	171.6743	-89.7384	8.3256	180.0379	---	1	-89.7408	171.6743	-89.7384	8.3256
NO.	--	16	---	2	-89.8809	-4.5090	19.8084	-1.5308	4.2417	---	2	-89.8809	-4.5090	19.8084	-1.5308
NO.	--	17	---	1	-89.8423	173.5064	-89.8414	6.4935	179.9821	---	1	-89.8423	173.5064	-89.8414	6.4935
NO.	--	17	---	1	89.8423	-6.4935	-89.8414	6.4935	0.0179	---	1	89.8423	-6.4935	-89.8414	6.4935
NO.	--	17	---	1	-89.8423	173.5064	-89.8414	6.4935	180.0179	---	1	-89.8423	173.5064	-89.8414	6.4935
NO.	--	17	---	2	-89.9278	-3.5140	19.8900	-1.1948	3.3041	---	2	-89.9278	-3.5140	19.8900	-1.1948
NO.	--	18	---	1	-89.9192	175.3520	-89.9190	4.6480	179.9934	---	1	-89.9192	175.3520	-89.9190	4.6480
NO.	--	18	---	1	89.9192	-4.6480	-89.9190	4.6480	0.0066	---	1	89.9192	-4.6480	-89.9190	4.6480
NO.	--	18	---	2	89.9192	-4.6480	-89.9190	4.6480	180.0066	---	1	89.9192	175.3520	-89.9190	4.6480
NO.	--	18	---	2	69.9939	-89.9631	-2.5138	19.9515	2.3628	---	2	69.9939	-89.9631	19.9515	-0.8583
NO.	--	19	---	1	-89.9631	-2.5138	19.9515	-0.8583	179.9986	---	1	-89.9708	177.2073	-89.9708	2.7927
NO.	--	19	---	1	-89.9708	177.2073	-89.9708	2.7927	180.0014	---	1	-89.9708	177.2073	-89.9708	2.7927
NO.	--	19	---	1	89.9708	-2.7927	-89.9708	2.7927	0.0014	0.0000	1	89.9708	-2.7927	-89.9708	2.7927
NO.	--	19	---	2	-89.9867	-1.5098	19.9927	-0.5163	1.4188	---	2	-89.9867	-1.5098	19.9927	-0.5163
NO.	--	20	---	1	1.4188	69.9876	-89.9867	19.9927	NO.	--	20	---	1		

THETA ( DEG )		THETA ( DEG )													
		1	2	3	4	5	6	1	2	3	4	5	6		
-179.9999	-0.0000	-89.9967	179.0684	-89.9967	0.9316	-179.9999	-0.0000	-89.9967	179.0684	-89.9967	0.9316	-89.9967	0.9316		
NO. -- 20	--- 1	0.0000	89.9967	-0.9316	-89.9967	0.9316	NO. --	20	--- 1	0.0000	89.9967	-0.9316	-89.9967	0.9316	
NO. -- 20	--- 1	180.0000	-0.0000	-89.9967	179.0684	-89.9967	NO. --	20	--- 1	180.0000	-0.0000	-89.9967	179.0684	-89.9967	
NO. -- 20	--- 2	0.4731	69.9844	-89.9985	-0.5035	20.0134	NO. --	20	--- 2	0.4731	69.9844	-89.9985	-0.5035	20.0134	
NO. -- 21	--- 1	179.9999	-0.0000	-89.9967	-179.0684	-89.9967	NO. --	21	--- 1	179.9999	-0.0000	-89.9967	-179.0684	-89.9967	
NO. -- 21	--- 1	-0.0001	89.9967	0.9316	-89.9967	-0.9316	NO. --	21	--- 1	-0.0001	0.0000	89.9967	0.9316	-0.9316	
NO. -- 21	--- 1	-180.0000	-0.0000	-89.9967	-179.0684	-89.9967	NO. --	21	--- 1	-180.0000	-0.0000	-89.9967	-179.0684	-0.9316	
NO. -- 21	--- 2	-0.4731	69.9844	-89.9985	0.5035	20.0134	NO. --	21	--- 2	-0.4731	69.9844	-89.9985	0.5035	20.0134	
NO. -- 22	--- 1	179.9986	-0.0000	-89.9708	-177.2073	-89.9708	NO. --	22	--- 1	179.9986	-0.0000	-89.9708	-177.2073	-89.9708	
NO. -- 22	--- 1	-0.0014	0.0000	89.9708	2.7927	-89.9708	NO. --	22	--- 1	-0.0014	0.0000	89.9708	2.7927	-2.7927	
NO. -- 22	--- 1	-180.0014	-0.0000	-89.9708	-177.2073	-89.9708	NO. --	22	--- 1	-180.0014	-0.0000	-89.9708	-177.2073	-89.9708	
NO. -- 22	--- 2	-1.4186	69.9876	-89.9867	1.5098	19.9927	0.5163	NO. --	22	--- 2	-1.4186	69.9876	-89.9867	1.5098	0.5163
NO. -- 23	--- 1	179.9924	-0.0000	-89.9192	-175.3520	-89.9190	-4.6480	NO. --	23	--- 1	179.9934	-0.0000	-89.9192	-175.3520	-89.9190
NO. -- 23	--- 1	-0.0066	0.0000	89.9192	4.6480	-89.9190	-4.6480	NO. --	23	--- 1	-0.0066	0.0000	89.9192	4.6480	-4.6480
NO. -- 23	--- 1	-180.0066	-0.0000	-89.9192	-175.3520	-89.9190	-4.6480	NO. --	23	--- 1	-180.0066	-0.0000	-89.9192	-175.3520	-89.9190
NO. -- 23	--- 2	-2.3628	69.9939	-89.9631	2.5138	19.9515	0.8583	NO. --	23	--- 2	-2.3628	69.9939	-89.9631	2.5138	0.8583
NO. -- 24	--- 1	179.9821	-0.0002	-89.8423	-173.5064	-89.8414	-6.4935	NO. --	24	--- 1	179.9821	-0.0002	-89.8423	-173.5064	-6.4935
NO. -- 24	--- 1	-0.0179	0.0002	89.8423	6.4935	-89.8414	-6.4935	NO. --	24	--- 1	-0.0179	0.0002	89.8423	6.4935	-6.4935
NO. -- 24	--- 1	-180.0179	-0.0002	-89.8423	-173.5064	-89.8414	-6.4935	NO. --	24	--- 1	-180.0179	-0.0002	-89.8423	-173.5064	-6.4935
NO. -- 24	--- 2	-3.3041	70.0033	-89.9278	3.5140	19.8900	1.1968	NO. --	24	--- 2	-3.3041	70.0033	-89.9278	3.5140	1.1968
NO. -- 25	--- 1	179.9621	-0.0004	-89.7408	-171.6743	-89.7384	-8.3256	NO. --	25	--- 1	179.9621	-0.0004	-89.7408	-171.6743	-8.3256

THETA ( DEG )		THETA ( DEG )					
		1	2	3	4	5	6
NO. -- 25	-- 1	89.7408	8.3257	-89.7384	-8.3256	8.3257	-89.7384
NO. -- 25	-- 1	0.0004	0.0004	0.0004	0.0004	0.0004	-8.3256
NO. -- 25	-- 1	-89.7408	-171.6743	-89.7384	-8.3256	-171.6743	-89.7384
NO. -- 25	-- 2	70.0158	-89.8809	4.5090	19.8084	1.5308	-8.3256
NO. -- 26	-- 1	-89.6155	-169.8590	-89.6103	-10.1408	-0.0009	-10.1408
NO. -- 26	-- 1	0.0009	89.6155	10.1410	-89.6103	-0.0009	-10.1408
NO. -- 26	-- 1	-89.6155	-169.8590	-89.6103	-10.1408	-0.0009	-10.1408
NO. -- 26	-- 1	-180.05286	-0.0009	-89.6155	-169.8590	-89.6103	-10.1408
NO. -- 26	-- 2	70.0314	-89.8226	5.4973	19.7072	1.8588	-180.05286
NO. -- 27	-- 1	-89.4673	-168.0639	-89.4574	-11.9356	-0.0018	-11.9356
NO. -- 27	-- 1	0.0018	89.4673	11.9361	-89.4574	-0.0018	-11.9356
NO. -- 27	-- 1	-89.4673	-168.0639	-89.4574	-11.9356	-0.0018	-11.9356
NO. -- 27	-- 1	-180.1122	-0.0018	-89.4673	-168.0639	-89.4574	-11.9356
NO. -- 27	-- 2	70.0500	-89.7531	6.4777	19.5869	2.1798	-180.1122
NO. -- 28	-- 1	-89.2975	-166.2920	-89.2802	-13.7069	-0.0018	-13.7069
NO. -- 28	-- 1	0.0032	89.2975	13.7080	-89.2802	-0.0018	-13.7069
NO. -- 28	-- 1	-89.2975	-166.2920	-89.2802	-13.7069	-0.0018	-13.7069
NO. -- 28	-- 1	-180.1706	-0.0032	-89.2975	-166.2920	-89.2802	-13.7069
NO. -- 28	-- 2	70.0714	-89.6725	7.4489	19.4481	2.4926	-180.1706
NO. -- 29	-- 1	-0.0052	-89.1072	-164.5461	-89.0791	-15.4519	-180.1706
NO. -- 29	-- 1	0.0052	89.1072	15.4538	-89.0791	-15.4519	-180.1706
NO. -- 29	-- 1	-0.0052	-89.1072	-164.5461	-89.0791	-15.4519	-180.1706
NO. -- 29	-- 2	70.0958	-89.5812	8.4098	19.2914	2.7963	-7.9345
NO. -- 30	-- 1	-0.0080	-88.8978	-162.8287	-88.8548	-17.1680	17.1712
NO. -- 30	-- 1	0.0080	88.8978	17.1712	-88.8548	-17.1680	-0.3381

		THETA ( DEG )											
		1	2	3	4	5	6	1	2	3	4	5	6
NO. --	30	--- 1						NO. --	30	--- 1			
-180.35381	-0.0080	-88.8978	-162.8287	-88.8548	-17.1680		-180.35381	-0.0080	-88.8978	-162.8287	-88.8548	-17.1680	
NO. --	30	--- 2					NO. --	30	--- 2				
-8.8390	70.1229	-89.4794	9.3594	19.1176	3.0398		-8.8390	70.1229	-89.4794	9.3594	19.1176	3.0398	
NO. --	31	--- 1					NO. --	31	--- 1				
179.5500	-0.0118	-88.6707	-161.1419	-88.6078	-18.8529		179.5500	-0.0118	-88.6707	-161.1419	-88.6078	-18.8529	
NO. --	31	--- 1					NO. --	31	--- 1				
-0.4499	0.0118	88.6707	18.8580	-88.6078	-18.8529		-0.4499	0.0118	88.6707	18.8580	-88.6078	-18.8529	
NO. --	31	--- 1					NO. --	31	--- 1				
-180.4499	-0.0118	-88.6707	-161.1419	-88.6078	-18.8529		-180.4499	-0.0118	-88.6707	-161.1419	-88.6078	-18.8529	
NO. --	31	--- 2					NO. --	31	--- 2				
-9.7345	70.1227	-89.3673	10.2966	18.9273	3.3725		-9.7345	70.1527	-89.3673	10.2966	18.9273	3.3725	
NO. --	32	--- 1					NO. --	32	--- 1				
179.4180	-0.0169	-88.4272	-159.4876	-88.3388	-20.5045		179.4180	-0.0169	-88.4272	-159.4876	-88.3388	-20.5045	
NO. --	32	--- 1					NO. --	32	--- 1				
-0.5820	0.0169	88.4272	20.5124	-88.3388	-20.5045		-0.5820	0.0169	88.4272	20.5124	-88.3388	-20.5045	
NO. --	32	--- 1					NO. --	32	--- 1				
-180.5820	-0.0169	-88.4272	-159.4876	-88.3388	-20.5045		-180.5820	-0.0169	-88.4272	-159.4876	-88.3388	-20.5045	
NO. --	32	--- 2					NO. --	32	--- 2				
-10.6204	70.1851	-89.2452	11.2212	18.7214	3.6435		-10.6204	70.1851	-89.2452	11.2212	18.7214	3.6435	
NO. --	33	--- 1					NO. --	33	--- 1				
179.2649	-0.0233	-88.1689	-157.8673	-88.0485	-22.1211		179.2649	-0.0233	-88.1689	-157.8673	-88.0485	-22.1211	
NO. --	33	--- 1					NO. --	33	--- 1				
-0.7351	0.0233	88.1689	22.1327	-88.0485	-22.1211		-0.7351	0.0233	88.1689	22.1327	-88.0485	-22.1211	
NO. --	33	--- 1					NO. --	33	--- 1				
-180.7351	-0.0233	-88.1689	-157.8673	-88.0485	-22.1211		-180.7351	-0.0233	-88.1689	-157.8673	-88.0485	-22.1211	
NO. --	33	--- 2					NO. --	33	--- 2				
-11.4961	70.2199	-89.1135	12.11319	18.5006	3.9022		-11.4961	70.2199	-89.1135	12.11319	18.5006	3.9022	
NO. --	34	--- 1					NO. --	34	--- 1				
179.0901	-0.0313	-87.8971	-156.2823	-87.7375	-23.7012		179.0901	-0.0313	-87.8971	-156.2823	-87.7375	-23.7012	
NO. --	34	--- 1					NO. --	34	--- 1				
-0.9099	0.0313	87.8971	23.7177	-87.7375	-23.7012		-0.9099	0.0313	87.8971	23.7177	-87.7375	-23.7012	
NO. --	34	--- 1					NO. --	34	--- 1				
-180.9099	-0.0313	-87.8971	-156.2823	-87.7375	-23.7012		-180.9099	-0.0313	-87.8971	-156.2823	-87.7375	-23.7012	
NO. --	34	--- 2					NO. --	34	--- 2				
-12.3611	70.2572	-88.9725	13.0283	18.2659	4.1480		-12.3611	70.2572	-88.9725	13.0283	18.2659	4.1480	
NO. --	35	--- 1					NO. --	35	--- 1				
178.8933	-0.0411	-87.6132	-154.7356	-87.4065	-25.2438		178.8933	-0.0411	-87.6132	-154.7356	-87.4065	-25.2438	
NO. --	35	--- 1					NO. --	35	--- 1				
-1.1067	0.0411	87.6132	25.2664	-87.4065	-25.2438		-1.1067	0.0411	87.6132	25.2664	-87.4065	-25.2438	
NO. --	35	---	1				NO. --	35	---	1			

THETA ( DEG )		THETA ( DEG )												
		1	2	3	4	5	6	1	2	3	4	5	6	
-181.1067	-0.0411	-87.6132	-154.7336	-87.4065	-25.2438		-181.1067	-0.0411	-87.6132	-154.7336	-87.4065	-25.2438		
NO. -- 35	--- 2	70.2967	-88.8223	13.9099	18.0179	4.3806	NO. -- 35	--- 2	-13.2151	70.2967	-88.8223	13.9099	18.0179	4.3806
NO. -- 36	--- 1	-0.0529	-87.3186	-153.2218	-87.0563	-26.7478	NO. -- 36	--- 1	178.6742	-0.0529	-87.3186	-153.2218	-87.0563	-26.7478
NO. -- 36	--- 1	0.0529	87.3186	26.7782	-87.0563	-26.7478	NO. -- 36	--- 1	-1.3258	0.0529	87.3186	26.7782	-87.0563	-26.7478
NO. -- 36	--- 1	-0.0529	-87.3186	-153.2218	-87.0563	-26.7478	NO. -- 36	--- 1	-181.3258	-0.0529	-87.3186	-153.2218	-87.0563	-26.7478
NO. -- 36	--- 2	70.3384	-88.6635	14.7764	17.7577	4.5994	NO. -- 36	--- 2	-14.0575	70.3384	-88.6635	14.7764	17.7577	4.5994
NO. -- 37	--- 1	-0.0670	-87.0145	-151.7475	-86.6876	-28.2126	NO. -- 37	--- 1	178.4327	-0.0670	-87.0145	-151.7475	-86.6876	-28.2126
NO. -- 37	--- 1	0.0670	87.0145	28.2525	-86.6876	-28.2126	NO. -- 37	--- 1	-1.5673	0.0670	87.0145	28.2525	-86.6876	-28.2126
NO. -- 37	--- 1	-0.0670	-87.0145	-151.7475	-86.6876	-28.2126	NO. -- 37	--- 1	-181.5672	-0.0670	-87.0145	-151.7475	-86.6876	-28.2126
NO. -- 37	--- 2	70.3821	-88.4961	15.6275	17.4859	4.8043	NO. -- 37	--- 2	-14.8882	70.3821	-88.4961	15.6275	17.4859	4.8043
NO. -- 38	--- 1	-0.0836	-86.7021	-150.3110	-86.3012	-29.6376	NO. -- 38	--- 1	178.1690	-0.0836	-86.7021	-150.3110	-86.3012	-29.6376
NO. -- 38	--- 1	0.0836	86.7021	29.6890	-86.3012	-29.6376	NO. -- 38	--- 1	-1.8310	0.0836	86.7021	29.6890	-86.3012	-29.6376
NO. -- 38	--- 1	-0.0836	-86.7021	-150.3110	-86.3012	-29.6376	NO. -- 38	--- 1	-181.8310	-0.0836	-86.7021	-150.3110	-86.3012	-29.6376
NO. -- 38	--- 2	70.4277	-88.3205	16.4630	17.2034	4.9951	NO. -- 38	--- 2	-15.7069	70.4277	-88.3205	16.4630	17.2034	4.9951
NO. -- 39	--- 1	-0.1028	-86.3825	-148.9123	-85.8978	-31.0228	NO. -- 39	--- 1	177.8831	-0.1028	-86.3825	-148.9123	-85.8978	-31.0228
NO. -- 39	--- 1	0.1028	86.3825	31.0877	-85.8978	-31.0228	NO. -- 39	--- 1	-2.1169	0.1028	86.3825	31.0877	-85.8978	-31.0228
NO. -- 39	--- 1	-0.1028	-86.3825	-148.9123	-85.8978	-31.0228	NO. -- 39	--- 1	-182.1169	-0.1028	-86.3825	-148.9123	-85.8978	-31.0228
NO. -- 39	--- 2	70.4751	-88.1371	17.2828	16.9110	5.1715	NO. -- 39	--- 2	-16.5135	70.4751	-88.1371	17.2828	16.9110	5.1715
NO. -- 40	--- 1	-0.1250	-86.0568	-147.5513	-85.4780	-32.3679	NO. -- 40	--- 1	177.5756	-0.1250	-86.0568	-147.5513	-85.4780	-32.3679
NO. -- 40	--- 1	0.1250	86.0568	32.4487	-85.4780	-32.3679	NO. -- 40	--- 1	-2.4244	0.1250	86.0568	32.4487	-85.4780	-32.3679
NO. -- 40	--- 1	-0.1250	-86.0568	-147.5513	-85.4780	-32.3679	NO. -- 40	--- 1	-182.4244	-0.1250	-86.0568	-147.5513	-85.4780	-32.3679

THETA ( DEG )		THETA ( DEG )									
1	2	3	4	5	6	1	2	3	4	5	6
10. --	40	---	2	70.5241	-87.9459	18.0868	16.6095	5.3335	NO. --	40	---
10. --	41	---	1	-0.1502	-85.7259	-146.2277	-85.0428	-33.6731	NO. --	41	---
10. --	41	---	1	0.1502	85.7259	33.7722	-85.0428	-33.6731	NO. --	41	---
-2.7533	0.1502	85.7259	33.7722	-85.0428	-33.6731	-2.7533	0.1502	85.7259	33.7722	-85.0428	-33.6731
10. --	41	---	1	-0.1502	-85.7259	-146.2277	-85.0428	-33.6731	NO. --	41	---
1.162.7533	-0.1502	-85.7259	-146.2277	-85.0428	-33.6731	-18.2.7533	-0.1502	-85.7259	-146.2277	-85.0428	-33.6731
10. --	41	---	2	70.5247	-87.7473	18.8731	16.2995	5.4810	NO. --	41	---
-18.0896	70.5247	-87.7473	18.8731	16.2995	5.4810	-18.0896	70.5247	-87.7473	18.8731	16.2995	5.4810